

УДК 697.329

Боднар І.А., Денисова А.Е., Бухкало С.І.

ПРИМЕНЕНИЕ ОЗОНОБЕЗОПАСНЫХ ФРЕОНОВ В ТЕПЛОНАСОСНЫХ УСТАНОВКАХ С ИСПОЛЬЗОВАНИЕМ ТЕПЛА ГРУНТОВЫХ ВОД

Введение. Одним из альтернативных методов энергообеспечения является использования низкотемпературного естественного тепла грунтовых вод земли на основе применения теплонасосных установок (ТНУ), которые позволяют получить экологически чистую энергию. В качестве рабочих тел ТНУ чаще всего используются фреоны, которые во время работы ТНУ совершают обратный цикл и изменяют свое агрегатное состояние. Фреоны легче воздуха и обладают высокой устойчивостью. При утечке из ТНУ они поднимаются в верхние слои атмосферы на высоту до 50 км, где разлагаются под действием ультрафиолетового излучения, в результате чего выделившийся хлор взаимодействует с озоном, что приводит к разрушению озонового слоя Земли [1].

Согласно Монреальского протокола, принятого в 1987 г., каждый фреон характеризуется потенциалом ODP, который представляет собой степень разрушения озонового слоя и берется относительно потенциала ODP фреона R11, принятого за единицу [2]. Фреоны, применение которых возможно в ТНУ, разделяют на три группы: 1) особо озоноопасные (R11, R12, R113, R114, R500), производство которых намечено сокращать; 2) озоноопасные (R21, R22, R123, R124, R141b, R142b, R401a, R401b, R401c, R406a); 3) экологически безопасные фреоны (R134a, R152a, R290, R600, R600a, RC318) [1].

Цель. Исследование энергетической эффективности рассмотренной схемы ТНУ с использованием экологически безопасных фреонов R134a, R152a, R290, которые целесообразно применять для систем теплоснабжения с использованием тепла грунтовых вод для полного покрытия тепловой нагрузки на отопление при температуре наружного воздуха $t_0 = -16...8$ °С.

Анализ схемы ТНУ геотермального теплоснабжения. В работе рассмотрена перспективная схемы ТНУ, приведена методика ее расчета. Схема установки отопления от источника грунтовых вод земли (рис. 1) включает в себя заборную скважину 1 оснащенную откачивающим специальным насосом 3, который подает низкопотенциальный источник тепла (грунтовую воду) в испаритель 4, где отдает свое тепло фреону и поступает в поглощающую скважину 2.

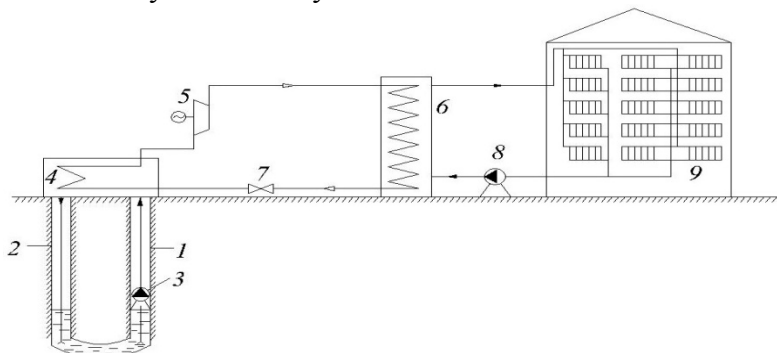


Рисунок 1 – Схема ТНУ от источника грунтовых вод

В испарителе фреон закипает, пар которого всасывается компрессором 5, где происходит его сжатие, при этом температура и давление фреона значительно повыша-

ється. Затем фреон подается в конденсатор 6, охлаждающийся водой, которая и будем высокопотенциальным источником тепла, который подается в систему отопления 9, оснащенную циркуляционным насосом 8. Отдав свое тепло, пар фреона конденсируется и в состоянии жидкого фреона через дроссельный вентиль 7, где его температура и давление падает, поступает обратно в испаритель [1].

Методика расчета ТНУ на базе геотермальных источников. Для анализа энергетической эффективности применения рассматриваемой схемы ТНУ воспользуемся методикой [1], реализованной с помощью программы CoolPack в p, h -диаграмме (рис. 2).

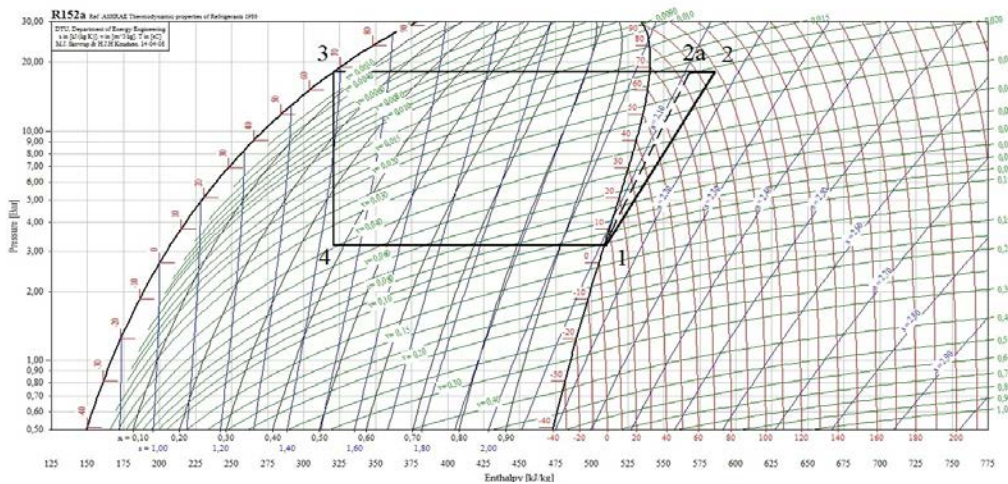


Рисунок 2 – Цикл ТНУ на базе грунтовой энергии

Температура испарения хладагента $t_{и}$, по которой можно определить энтальпию h_1 и давление $P_{и}$ фреона после испарителя

$$t_{и} = t_{н2} - \Delta t_{и}, \quad (1)$$

где $t_{н2}$ – температура низкопотенциального источника тепла, °C; $\Delta t_{и}$ – перепад температур на выходе из испарителя, К.

Температура конденсации хладагента $t_{к}$, по которой можно определить энтальпию h_3 и давление $P_{к}$ фреона после конденсатора

$$t_{к} = t_{в2} + \Delta t_{к}, \quad (2)$$

где $t_{в2}$ – температура высокопотенциального источника тепла на выходе из испарителя, °C; $\Delta t_{к}$ – перепад температур на выходе из конденсатора, К.

Адиабатный КПД компрессора

$$\eta_a = 0,98(273 + t_0) / (273 + t_k), \quad (3)$$

где t_0 – температура наружного воздуха, °C.

Энтальпия хладагента после компрессора

$$h_2 = h_1 + (h_{2a} - h_1) / \eta_a, \quad (4)$$

где h_{2a} – энтальпия фреона после конца адиабатного сжатия, кДж/кг.

Удельная тепловая нагрузка конденсатора q_k

$$q_k = h_2 - h_3, \text{ кДж/кг.} \quad (5)$$

Удельная тепловая нагрузка ТНУ

$$q_{\text{ТН}} = q_k, \text{ кДж/кг.} \quad (6)$$

Работа сжатия в компрессоре

$$l_{\text{сж}} = h_2 - h_1, \text{ кДж/кг.} \quad (7)$$

Коэффициент преобразования теплоты

$$\mu = q_{\text{ТН}} / l_{\text{сж}}. \quad (8)$$

Массовый расход фреона

$$G_{\text{ха}} = Q_{\text{ТН}} / q_{\text{ТН}}, \text{ кг/с,} \quad (9)$$

где $Q_{\text{ТН}}$ – тепловая нагрузка ТНУ, кВт.

Для расчета энергетической эффективности рассматриваемой схемы ТНУ (рис. 1) будем использовать следующие исходные данные: температура низкопотенциального источника тепла на входе в испаритель ТНУ $t_{\text{н1}} = 20$ °С; температура низкопотенциального источника тепла на выходе из испарителя ТНУ $t_{\text{н2}} = 10$ °С;

В зависимости от температуры наружного воздуха $t_0 = -16...8$ °С температуры высокопотенциального источника тепла на входе в систему отопления и на выходе из системы отопления $t_{\text{в2}}$ и $t_{\text{в1}}$ получены графики (рис. 3) изменения нагрузки на отопление 5-ти этажного здания на 60 квартир [3], т.е. тепловой нагрузки ТНУ $Q_{\text{ТН}}$, кВт (рис. 4).

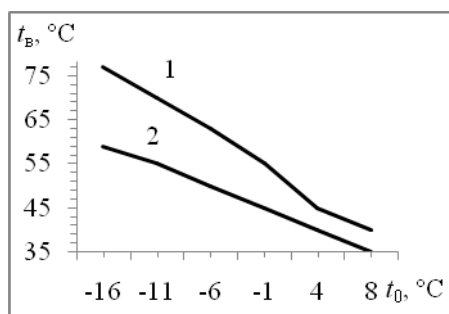


Рисунок 3 –
1 – зависимость подающего теплоносителя $t_{\text{в2}}$; 2 – обратного теплоносителя $t_{\text{в1}}$ от температуры наружного воздуха t_0

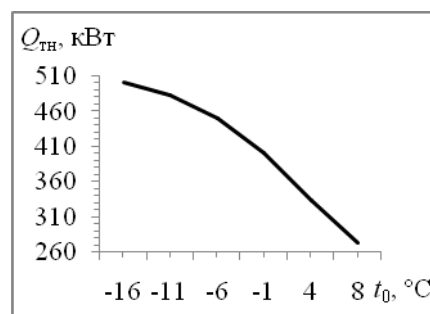


Рисунок 4 – Зависимость тепловой нагрузки ТНУ $Q_{\text{ТН}}$ от температуры наружного воздуха t_0

Перепады температур на виході з теплообмінників $\Delta t_k = \Delta t_{\text{и}} = 5, \text{ К}$.

Для аналізу енергетическої ефективності були отримані наступні залежності (рис. 5–6).

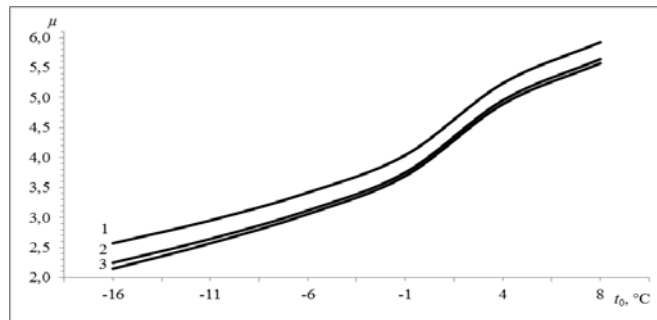


Рисунок 5 – Залежність коефіцієнта перетворення теплоти μ від температури зовнішнього повітря t_0 : 1 – R152a; 2 – R134a; 3 – R290

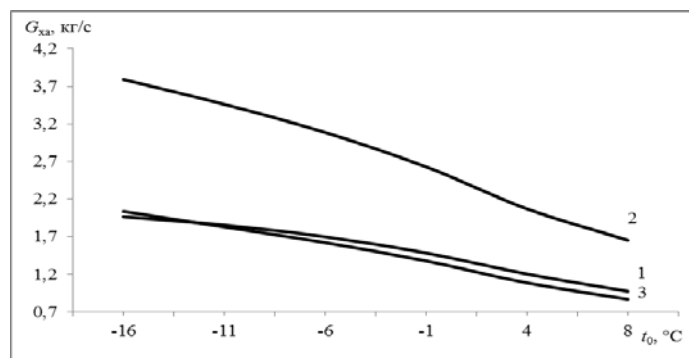


Рисунок 6 – Залежність масового витрату фреону $G_{\text{ха}}$ від температури зовнішнього повітря t_0 : 1 – R152a; 2 – R134a; 3 – R290

Аналіз результатів розрахунку. Для розглянутої даної системи теплоснабження з використанням тепла ґрунтових вод (рис. 1) при температурах зовнішнього повітря $t_0 = -16 \dots 8 \text{ }^\circ\text{C}$ цілесообразно застосовувати озонобезпечні фреони R134a, R152a, R290, так як тільки їх використання з найбільш часто застосовуваних, завдяки своїм теплофізическим властивостям, дозволяє повністю покрити опалювальну навантаження будівлі в даному інтервалі температур.

Розрахунковий цикл для схеми ТНУ з використанням озонобезпечного фреона R152a, виконаний за допомогою програми CoolPack, представлений в p, h -діаграмі при температурі середовища $t_0 = -6 \text{ }^\circ\text{C}$ (рис. 2).

Аналіз залежностей (рис. 5) показує, що чим вище температура середовища, тим менше вимоги до температури теплоносія, подаваного в систему опалення, зменшуються. Це призводить до зменшення різниці температур між низкопотенціальним джерелом тепла ґрунтових вод і високопотенціальним джерелом тепла системи теплоснабження. Так, при підвищенні температури зовнішнього повітря коефіцієнт перетворення теплоти μ зростає, що дозволяє зробити висновок про більш ефективну роботу ТНУ. Найбільш цілесообразним є застосування в розглянутій схемі ТНУ фреона R152a, так як при інших рівних умовах за рахунок його теплофізических властивостей, вдасться підвищити коефіцієнт перетворення теплоти μ порівняно з фреонами R134a, R290. Кожен фреон характеризується таким своїм-

ством как хладопроизводительность, т.е. теплотой фазового перехода. В табл. приведены свойства озонобезопасных фреонов R134a, R152a, R290.

Таблица – Свойства озонобезопасных фреонов

Фреон	0 °С		70 °С	
	Давление насыщения, кгс/см ²	Хладопроизводительность, кДж/кг	Давление насыщения, кгс/см ²	Хладопроизводительность, кДж/кг
R134a	2,94	198	21,16	123
R152a	2,67	304	18,94	214
R290	4,72	374	25,92	228

Анализ зависимостей (рис. 6) показывает, что чем меньше разность температур между низкопотенциальным источником тепла грунтовых вод и высокопотенциальным источником тепла системы теплоснабжения, тем массовый расход фреона $G_{ха}$ контура ТНУ меньше, так как при повышении температуры наружного воздуха необходимая нагрузка на отопления снижается (рис. 4). Чем выше теплота фазового перехода, тем ниже будет массовый расход фреона. Так из трех рассмотренных озонобезопасных фреонов при прочих равных условиях наименьший массовый расход $G_{ха}$ имеет фреон R290.

Выводы. Таким образом, с энергетической точки зрения использование фреона R152a в рассмотренной схеме ТНУ является наиболее эффективным, о чем свидетельствует коэффициент преобразования теплоты μ . Однако для выбора оптимально озонобезопасного фреона для системы теплоснабжения на базе ТНУ этого показателя недостаточно. Необходимо учитывать и экономический аспект, так как чем меньше массовый расход фреона через контур ТНУ, тем меньше будет стоимость испарителя, конденсатора и компрессора.

Литература

1. Трубаев П.А. Тепловые насосы: учеб. пособ. / П.А. Трубаев, Б.М. Гришко. – Белгород : Изд-во БГТУ им. В.Г. Шухова, 2009. – 142 с.
2. Цветков О.Б. Холодильные агенты / Цветков О.Б. – СПб. : СПбГУНиПТ, 2004. – 216 с.
3. Справочник по наладке и эксплуатации водяных тепловых сетей / [Манюк В.И., Каплинский Я.И., Хиж Э. и др.] – 2-е изд. – М.: Стройиздат, 1982. – 215 с.

Bibliography (transliterated)

1. Trubaev P.A. Teplovyie nasosyi: ucheb. posob. P.A. Trubaev, B.M. Grishko. – Belgorod : Izd-vo BGTU im. V.G. Shuhova, 2009. – 142 p.
2. Tsvetkov O.B. Holodilnyie agentyi. Tsvetkov O.B. – SPB. : SPBGUNiPT, 2004. – 216 p.
3. Spravochnik po naladke i ekspluatatsii vodyanyih teplovyih setey. [Manyuk V.I., Kaplinskiy Ya.I., Hizh E. i dr.] – 2-e izd. – M.: Sroyizdat, 1982. – 215 p.

УДК 697.329

Боднар І.А., Денисова А.Є., Бухкало С.І.

ЗАСТОСУВАННЯ ОЗОНОБЕЗПЕЧНИХ ФРЕОНІВ У ТЕПЛОАСОСНИХ УСТАНОВКАХ З ВИКОРИСТАННЯМ ТЕПЛА ГРУНТОВИХ ВОД

Запропонована система теплопостачання, яка забезпечує ефективне використання теплонасосної установки з джерелом тепла ґрунтових вод. Запропонована методика розрахунку теплонасосної установки на базі геотермального теплопостачання. Розглянуті екологічно безпечні фреони R134a, R152a, R290, які доцільно застосовувати для повного покриття теплового навантаження на опалювання при температурі зовнішнього повітря $t_0 = -16...8$ °С. Отримані залежності показників коефіцієнта перетворення тепла μ і масової витрати фреону через контур теплонасосної установки $G_{\text{ха}}$ системи теплопостачання від температури зовнішнього повітря. Приведені рекомендації по вибору оптимального екологічно безпечного фреону для теплонасосної установки.

Bodnar I.A., Denisova A.E., Bukhkalov S.I.

THE USE OF OZONE-SAFE IN HEAT PUMP PLANTS WITH USE OF HEAT OF GROUND WATERS

The systems of heat supply, which provides the effective use of heatpump plants with a source of heat of ground waters, are offered. The method of an assessment of power efficiency of systems is offered, comparison of parameters of their calculation cycles is executed. Are considered ecologically safe Freon's (R134a, R152a, R290) which are expedient for applying to a full covering of thermal load of heating at a temperature of external air $t_0 = -16...8$ °С. Dependences of indicators of coefficient of transformation of heat μ and a mass consumption of Freon through a contour of the heatpump plant G_{ca} of system of a heat supply from temperature of external air are received. Recommendations about a choice of optimum ecologically safe Freon for heatpump plant are provided.